



# 第十一届全国周培源大学生 力学竞赛（个人赛）试题答案

出题学校：湖南大学

本试卷分为基础题和提高题两部分 满分 120 分 时间 3 小时 30 分

**说明：**个人赛奖项分为全国奖和赛区奖。全国奖先以提高题得分为筛选标准，再按总得分排名，根据名次最终确定获奖人；赛区奖直接按赛区内总成绩排名确定获奖人。全国奖获奖人不再重复获得赛区奖。

**注意：**答卷中各题所得的最后计算结果用分数表示或用小数表示均可。

## 基础题部分（填空题，共 60 分）

一、（6 分）如图 1 所示，正方体边长为  $c$ ，其上作用四个力  $\mathbf{F}_1, \mathbf{F}_2, \mathbf{F}_3, \mathbf{F}_4$ ，各力大小之间的关系为  $F_1 = F_2 = F_a, F_3 = F_4 = F_b$ 。试计算以下问题，并将结果填在相应的空内。

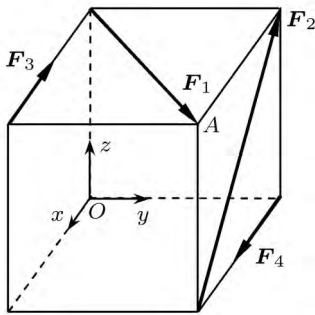


图 1

(1) (2 分) 力系对  $OA$  轴之矩的大小为  $\frac{\sqrt{6}}{6}F_a c - \frac{2\sqrt{3}}{3}F_b c$ ;

(2) (2 分) 若此力系可简化为一个力，则  $F_a$  与  $F_b$  的数量关系为  $F_b = \frac{\sqrt{2}}{4}F_a$ ;

(3) (2 分) 若  $F_a = F_b = F$ ，力系简化为一力螺旋，则其中的力偶矩为  $\frac{1-2\sqrt{2}}{2}Fc$ 。

**解答：**

向点  $O$  简化

$$F_x = 0, F_y = \frac{\sqrt{2}}{2}F_a, F_z = \frac{\sqrt{2}}{2}F_a;$$

$$M_x = 0, M_y = -F_b c, M_z = \frac{\sqrt{2}}{2}F_a c - F_b c.$$

$$\text{问题 (1): } M_{OA} = \mathbf{M}_O \cdot \mathbf{e}_{OA} = \frac{\sqrt{6}}{6}F_a c - \frac{2\sqrt{3}}{3}F_b c;$$

$$\text{问题 (2): } \mathbf{M}_O \cdot \mathbf{F}_R = 0 \Rightarrow F_b = \frac{\sqrt{2}}{4}F_a;$$

$$\text{问题 (3): } M_{\min} = \mathbf{M}_O \cdot \mathbf{e}_{FR} = \frac{1-2\sqrt{2}}{2}Fc.$$

二、（6 分）如图 2 所示，两匀质轮  $A$  和  $B$  的质量同为  $m$ ，半径同为  $r$ 。轮  $A$  位于水平面上，绕于轮  $B$  的细绳通过定滑轮  $C$  后与轮  $A$  的中心相连，其中  $CA$  段绳水平， $CB$  段绳铅直。不计定滑轮  $C$  与细绳的质量，且设细绳不可伸长。系统处于铅垂平面内，自静止释放。试计算以下问题，并将结果填在相应的空内。（重力加速度用  $g$  表示）

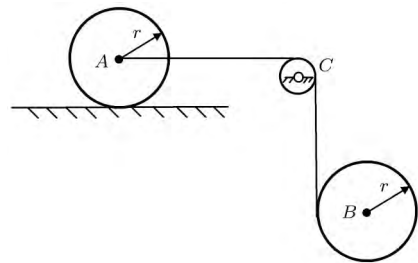


图 2

(1) (2 分) 若轮  $A$  既滚又滑，则系统的自由度数为 (3)；

(2) (4 分) 若轮  $A$  与水平支承面光滑接触，轮  $B$  下落的高度与时间的关系为  $\frac{3}{8}gt^2$ 。

解答:

问题 (1): 3 自由度.

问题 (2): 轮 A 平动. 分析轮 B, 动静法求解:

$$F_T = ma_A$$

$$\sum M_B = 0, F_T r - J\alpha = 0$$

$$ma_A r - \frac{1}{2}mr^2\alpha = 0 \Rightarrow a_A = \frac{1}{2}r\alpha$$

$$\sum M_D = 0, m(a_A + r\alpha)r + J\alpha - mgr = 0$$

$$\Rightarrow a_A = \frac{g}{4}$$

$$\Rightarrow a_B = a_A + r\alpha = \frac{3g}{4}$$

$$\Rightarrow h_B = \frac{1}{2}a_B t^2 = \frac{3}{8}gt^2$$

以上结果或通过求解刚体平面运动微分方程得到.

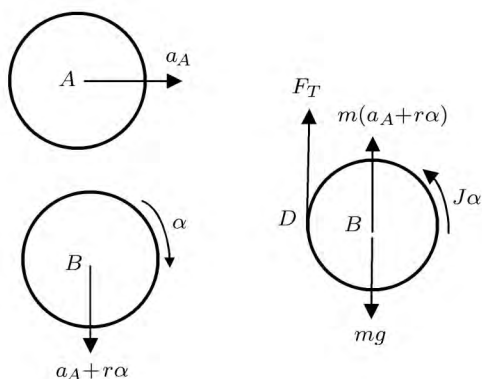


图 3

三、(6 分) 桁架的杆件内力可以应用节点法、截面法以及虚位移原理进行求解. 如图 4 所示, 静定平面桁架由水平杆、竖直杆和  $45^\circ$  斜杆组成, 在 B 处受固定铰支座约束, A, C 两处由可水平运动的铰支座支承. 桁架上作用了 3 个大小同为  $F$  的载荷, 试计算以下问题, 并将结果填在相应的空内.

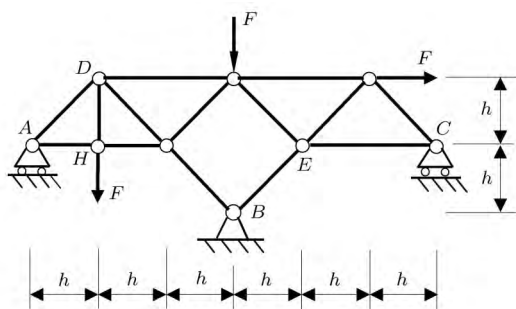


图 4

(1) (2 分) 杆  $DH$  的内力为  $F$  (受拉);

(2) (4 分) 杆  $BE$  的内力为  $3\sqrt{2}F/2$  (受压).

解答:

问题 (1): 对节点  $H$ , 依节点法, 有

$$F_{DH} = F \text{ (受拉)}$$

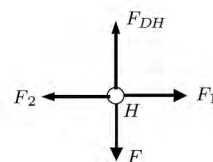


图 5

问题 (2):

解法 1——应用虚位移原理求解

$$-(Fh + 3Fh)\delta\theta_1 + \left(F_{BE} \frac{\sqrt{2}}{2} \cdot 2h + Fh\right)\delta\theta_2 = 0$$

$$\delta\theta_1 = \delta\theta_2$$

$$F_{BE} = \frac{3\sqrt{2}}{2}F \text{ (受压)}$$

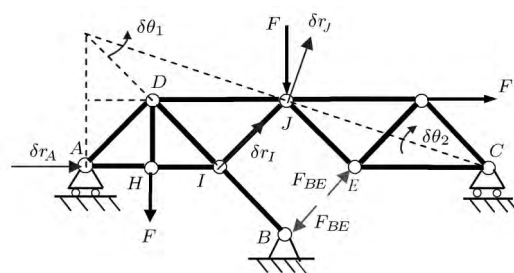


图 6

解法 2——几何静力学方法, 需要列多个平衡方程, 下面列举其中一种解法.

取整体

$$\sum M_B = 0 \Rightarrow F_C - F_A = 0 \quad (1)$$

$$\sum F_X = 0 \Rightarrow F_{Bx} - F = 0 \quad (2)$$

$$\sum F_Y = 0 \Rightarrow F_{By} + F_A + F_C - 2F = 0 \quad (3)$$

取最右边三角形构成的局部

$$\sum M_J = 0 \Rightarrow \sqrt{2}F_{BE}h + F_C \cdot 3h = 0 \quad (4)$$

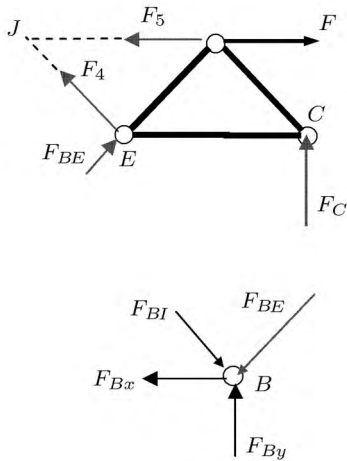


图7

最后取节点 B

$$\sum F_X = 0 \Rightarrow -\frac{\sqrt{2}}{2} F_{BE} + \frac{\sqrt{2}}{2} F_{BI} - F_{Bx} = 0 \quad (5)$$

$$\sum F_Y = 0 \Rightarrow -\frac{\sqrt{2}}{2} F_{BE} - \frac{\sqrt{2}}{2} F_{BI} + F_{By} = 0 \quad (6)$$

$$F_{BE} = \frac{3\sqrt{2}}{2} F \text{ (受压)}$$

四、(6分) 如图8所示, 小车上斜靠着长为  $l$ 、质量为  $m$  的均质杆  $AB$ , 其倾角以  $\theta$  表示. 杆处于铅垂平面内,  $B$  端与小车壁光滑接触,  $A$  端与小车底板的摩擦角为  $\varphi_m = 30^\circ$ . 小车由动力装置驱动 (图中未画出), 沿水平直线轨道向左运动, 且其运动可以被控制. 小车运动过程中, 杆  $AB$  相对于小车始终保持静止, 试计算以下问题, 并将结果填在相应的空内.

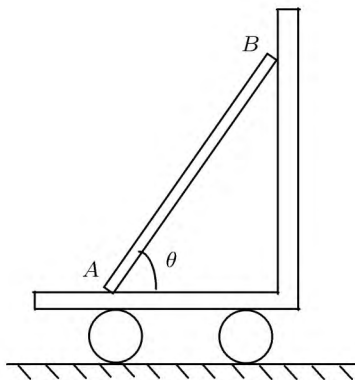


图8

(1) (3分) 若小车作匀速运动, 则倾角  $\theta$  要满足的条件为  $\tan^{-1}(\sqrt{3}/2) \leq \theta < 90^\circ$ ;

(2) (3分) 若小车作加速度向右的减速运动,

则小车加速度  $a$  与倾角  $\theta$  应满足的关系为: 若  $\tan^{-1}(\frac{\sqrt{3}}{2}) \leq \theta < 60^\circ$ , 则  $a \leq g(2\sqrt{3}/3 - \cot \theta)$ ; 若  $60^\circ \leq \theta < 90^\circ$ , 则  $a \leq g \cot \theta$ .

解答:

问题 (1):

几何法求解:

$$\text{因为 } \frac{l}{2} \cos \theta = l \sin \theta \cdot \tan \varphi_m$$

$$\Rightarrow \theta_0 = \tan^{-1} \left( \frac{1}{2} \cot \varphi_m \right)$$

$$\text{所以 } \tan^{-1}(\sqrt{3}/2) \leq \theta < 90^\circ$$

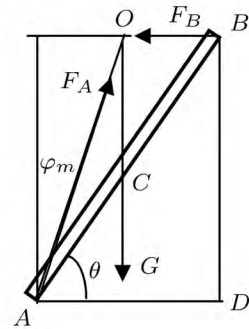


图9

解析法求解:

平衡方程

$$\begin{cases} F_{AS} - F_B = 0 \\ F_{AN} - G = 0 \\ F_B l \sin \theta - \frac{Gl}{2} \cos \theta = 0 \end{cases}$$

结合物理方程

$$\frac{F_{AS}}{F_{AN}} \leq \tan \varphi_m$$

可得结果.

问题 (2):

几何法求解:

$$\text{当 } \theta_0 = \tan^{-1}(\sqrt{3}/2) \leq \theta < 60^\circ$$

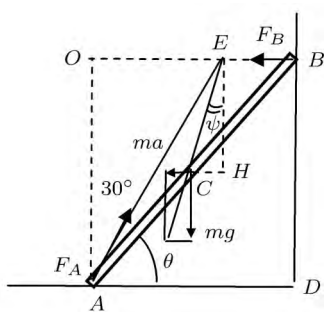


图 10

加速度  $a$  的上限由  $A$  点临界滑动确定

$$\tan \psi = \frac{CH}{EH} = \frac{OE - OB/2}{BD/2} = \frac{2\sqrt{3}}{3} - \cot \theta$$

$$\text{所以 } a_{\max} = g \tan \psi = g \left( \frac{2\sqrt{3}}{3} - \cot \theta \right)$$

当  $\theta \geq 60^\circ$  时, 加速度  $a$  的上限由杆绕  $A$  点翻转确定, 所以  $a_{\max} = g \cot \theta$ . 以上过程也可以采用解析法求解.

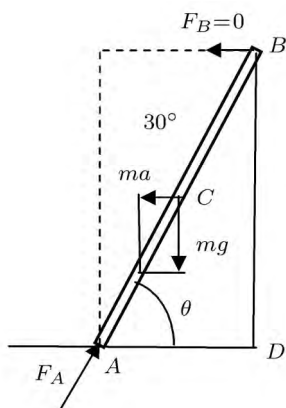


图 11

五、(6 分) 如图 12 所示, 圆形细环管在相连部件 (图中未画出) 带动下沿水平直线轨道纯滚动, 管内有一小壁虎, 相对于环管爬行, 壁虎可被视为一点, 在图中以小球  $B$  代替. 图示瞬时, 壁虎与环管的中心处于同一水平线上, 壁虎相对环管的速率为  $u$ , 相对速度的方向朝下, 相对速度大小的改变率等于 0, 环管中心  $O$  点的速度向右, 速度大小也为  $u$ , 加速度为 0. 环管中心圆的半径等于  $R$ . 试计算以下问题, 并将结果填在相应的空内.

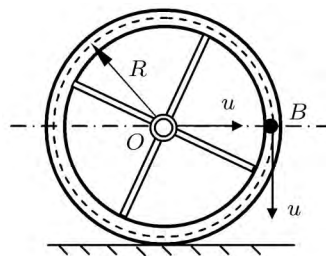


图 12

- (1) (2 分) 在此瞬时壁虎相对地面的速度大小为  $\sqrt{5}u$ ;
- (2) (2 分) 在此瞬时壁虎相对地面的加速度大小为  $4u^2/R$ ;
- (3) (2 分) 在此瞬时壁虎在相对地面的运动轨迹上所处位置点的曲率半径为  $5\sqrt{5}R/8$ .

解答:

动点: 小球; 动系: 细圆环

$$\mathbf{v}_B = \mathbf{v}_e + \mathbf{v}_r$$

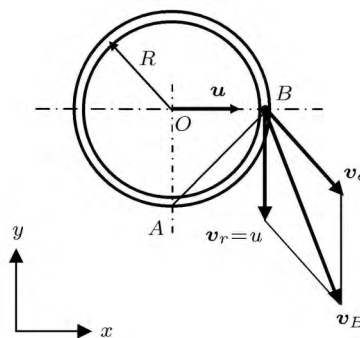


图 13

则

$$v = \sqrt{5}u$$

$$v_{Bx} = v_e \cos 45^\circ = u$$

$$v_{By} = -2u$$

$$\boldsymbol{\tau}_B = \frac{\mathbf{v}_B}{v_B} = \frac{\sqrt{5}}{5}\mathbf{i} - \frac{2\sqrt{5}}{5}\mathbf{j}$$

$$\mathbf{a}_B = \mathbf{a}_e + \mathbf{a}_r + \mathbf{a}_C, \text{ 为小球绝对加速度}$$

$$a_e = \frac{u^2}{R}, a_r = \frac{u^2}{R}, a_C = 2\frac{u^2}{R}$$

$$\mathbf{a}_B = \mathbf{a}_e + \mathbf{a}_r + \mathbf{a}_C = -4\frac{u^2}{R}$$

$$\mathbf{a}_B = -4\frac{u^2}{R}\mathbf{i}$$

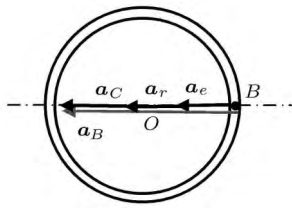


图 14

$a_B^\tau = \mathbf{a}_B \cdot \boldsymbol{\tau}_B = -\frac{4\sqrt{5}u^2}{5R}$ , 为绝对运动的切向加速度, 与绝对速度的夹角大于  $90^\circ$ ,  $a_B^n = \sqrt{a_B^2 - (a_B^\tau)^2} = \frac{8\sqrt{5}u^2}{5R}$ , 为绝对运动的法向加速度, 曲率半径  $\rho = \frac{v^2}{a_B^n} = \frac{5\sqrt{5}}{8}R$ .

六、(5分) 图 15 所示结构中, 铅垂杆①和斜杆②均为弹性杆, 斜杆②与水平线夹角为  $\theta$ , 直角三角形  $ABC_2$  为刚体, 边  $BC_2$  处于水平位置. 现将  $C_1$  和  $C_2$  联结在一起, 已知  $a, \delta$  和  $\theta$ , 则求该两杆轴力用到的

(1) (2分) 平衡方程 (杆①、杆②的轴力分别用  $F_{N1}$  和  $F_{N2}$  表示) 为  $2F_{N1} - F_{N2} \cos \theta = 0$ ;

(2) (3分) 变形条件方程 (杆①、杆②的变形分别用  $\Delta l_1$  和  $\Delta l_2$  表示) 为  $\Delta l_1 + 2\Delta l_2 / \cos \theta = \delta$ .

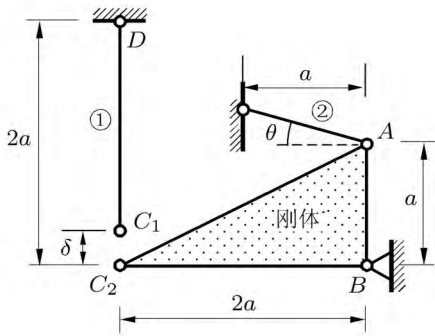


图 15

解答: (1) 以三角形刚体为研究对象,  $\sum m_B = 0 \Rightarrow 2F_{N1} - F_{N2} \cos \theta = 0$ .

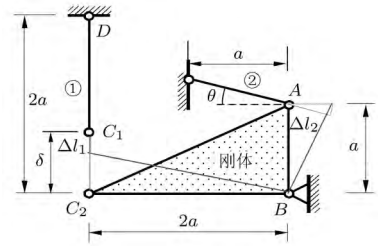
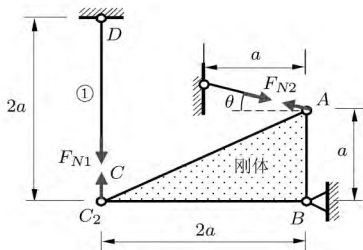


图 16

(2) 设三角形刚体绕  $B$  点转动小角  $\varphi$ ,

$$\therefore \Delta l_2 / \cos \theta = a\varphi\delta - \Delta l_1 = 2a\varphi$$

$$\therefore \Delta l_1 + 2\Delta l_2 / \cos \theta = \delta$$

七、(5分) 一种能量收集装置, 可简化为图 17 所示悬臂梁模型. 梁  $AB$  长  $l$ , 弯曲刚度为  $2EI$ ; 梁  $BC$  和  $BD$  长均为  $l$ , 弯曲刚度均为  $EI$ . 梁  $AB$  与梁  $BC$  和  $BD$  通过刚节点  $B$  连接, 三梁均处于水平位置. 梁和刚节点  $B$  的重量均不计. 梁  $BC$  和  $BD$  端部固定有重量均为  $W$  的物块, 该两梁之间有小间隙. 则梁端  $D$  的挠度与物块重量之比  $f_D/W = 8l^3/(3EI)$ .

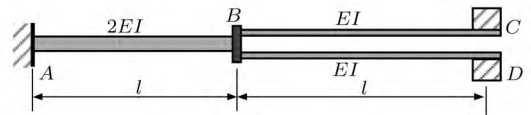


图 17

解答

$$f_D = f_B + \theta_B l + f'_D$$

其中

$$f_B = \frac{(2W)l^3}{3(2EI)} + \frac{(2Wl)l^2}{2(2EI)} = \frac{Wl^3}{6EI}$$

$$\theta_B = \frac{(2W)l^2}{2(2EI)} + \frac{(2Wl)l}{(2EI)} = \frac{3Wl^2}{2EI}$$

$$f'_D = \frac{Wl^3}{3EI}$$

八、(6分) 已知一危险点的单元体处于平面应力状态, 最大切应变  $\gamma_{\max} = 5 \times 10^{-4}$ , 通过该点相互垂直的微截面上正应力之和为  $28 \text{ MPa}$ . 若材料的弹性模量  $E = 200 \text{ GPa}$ , 泊松比  $\nu = 0.25$ . 则

(1) (3分) 该点主应力  $\sigma_1 = 54 \text{ MPa}$ ,  $\sigma_2 = 0 \text{ MPa}$ ,  $\sigma_3 = -26 \text{ MPa}$ ;

(2) (3分) 用最大切应力强度理论校核时相当应力  $\sigma_{r3} = 80 \text{ MPa}$ .

解答:  $G = \frac{E}{2(1+\nu)} = 80 \text{ GPa}, \sigma_z = 0;$

所以  $\sigma_x - \sigma_y = 2 \times 5 \times 10^4 \times 0.8 \times 10^5 = 80 \text{ MPa},$   
 又  $\sigma_x + \sigma_y = 28 \text{ MPa},$  解得:  $\sigma_1 = 54 \text{ MPa}, \sigma_2 = 0,$   
 $\sigma_3 = -26 \text{ MPa};$  于是  $\tau_{\max} = \frac{\sigma_1 - \sigma_3}{2} = 40 \text{ MPa},$   
 $\sigma_{r3} = 2\tau_{\max} = 80 \text{ MPa}.$

九、(6 分) 图 18 所示刚架中, 水平梁为刚杆, 竖直杆①、②均为细长弹性杆, 只考虑与纸面平行的平面内的失稳. 则

(1) (2 分) 刚架失稳时载荷的最小值  $F$  由杆①决定; (注: 填入①, ②)

(2) (4 分) 刚架失稳时载荷的最小值  $F = \pi^2 EI / (2l^2).$

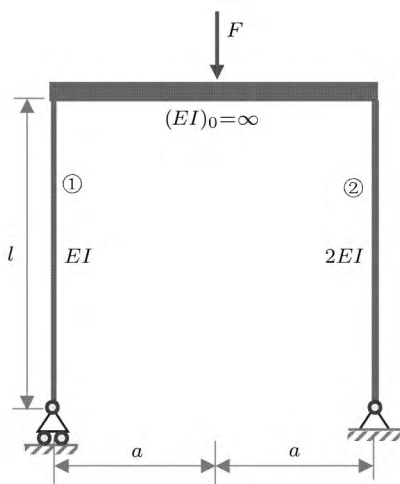


图 18

解答: 最低临界载荷对应两竖杆均朝一边变形, 在该变形情况下柱内无剪力, 相当于悬臂柱, 于是有

$$F = \frac{\pi^2 EI}{2l^2}$$

十、(8 分) 图 19 所示等截面直角刚架  $ACB,$  杆件横截面为圆形, 弯曲刚度为  $EI,$  扭转刚度为  $0.8EI.$   $C$  处承受大小为  $m,$  方向如图所示的外力偶, 该力偶矢量方向与刚架轴线处于同一平面内. 则

(1) (4 分) 截面  $A$  的弯矩  $M = \frac{5\sqrt{2}}{18}m;$

(2) (4 分) 截面  $B$  的扭矩  $T = \frac{2\sqrt{2}}{9}m$  或  $-\frac{2\sqrt{2}}{9}m.$

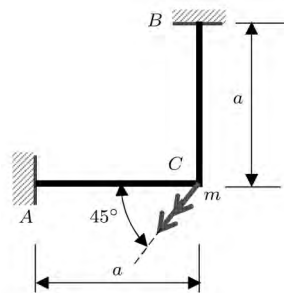


图 19

解答:

$$\begin{aligned} \Theta_{CC} &= \int_0^a \frac{M_1 \overline{M}_1}{EI} dx + \int_0^a \frac{T_1 \overline{T}_1}{GI_p} dx + \\ &\int_0^a \frac{M_2 \overline{M}_2}{EI} dy + \int_0^a \frac{T_2 \overline{T}_2}{GI_p} dy = \\ &\frac{1}{EI} \int_0^a \left[ \frac{1}{\sqrt{2}} \cdot \left( \frac{m}{2\sqrt{2}} + \frac{X}{\sqrt{2}} \right) dx + \right. \\ &\left. \frac{1}{\sqrt{2}} \cdot \left( \frac{m}{2\sqrt{2}} + \frac{X}{\sqrt{2}} \right) dy \right] + \\ &\frac{1}{GI_p} \int_0^a \left[ \frac{1}{\sqrt{2}} \cdot \left( -\frac{m}{2\sqrt{2}} + \frac{X}{\sqrt{2}} \right) dx - \right. \\ &\left. \frac{1}{\sqrt{2}} \cdot \left( \frac{m}{2\sqrt{2}} - \frac{X}{\sqrt{2}} \right) dy \right] = 0 \end{aligned}$$

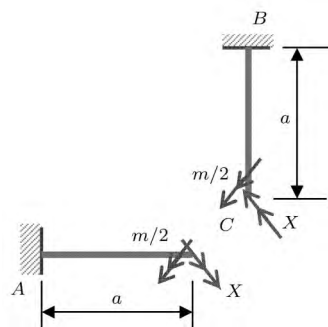


图 20

求解, 得

$$X = -\frac{1}{2} \cdot \frac{\frac{1}{EI} - \frac{1}{GI_p}}{\frac{1}{EI} + \frac{1}{GI_p}} m = \frac{m}{18}$$

$$M = \frac{X}{\sqrt{2}} + \frac{\sqrt{2}}{4} m = \frac{5\sqrt{2}}{18} m$$

$$T = \frac{\sqrt{2}}{4} m - \frac{X}{\sqrt{2}} = \frac{2\sqrt{2}}{9} m$$

或

$$T = -\frac{\sqrt{2}}{4} m + \frac{X}{\sqrt{2}} = -\frac{2\sqrt{2}}{9} m$$

提高题部分 (计算题, 共 60 分)

十一、(共 15 分) 如题图 21(a) 所示, 质量均为  $m$  的圆轮和细直杆  $AC$  固结成一组合刚体. 其中, 杆  $AC$  沿圆轮径向,  $O$  为圆轮轮心,  $C$  点为轮与杆的固结点, 也是组合刚体的质心. 初始时刻, 组合刚体静止于水平面, 左边紧靠高度为  $r$  的水平台阶, 然后, 在图示不稳定平衡位置受微小扰动后向右倾倒, 以  $\varphi$  表示组合刚体在杆端  $A$  与地面接触之前的转动角度 (参见图 21(b)). 圆轮, 半径为  $r$ , 组合刚体关于过轮心  $O$  并垂直于圆轮的轴之转动惯量为  $J_O$ . 略去各处摩擦, 试求解如下问题.

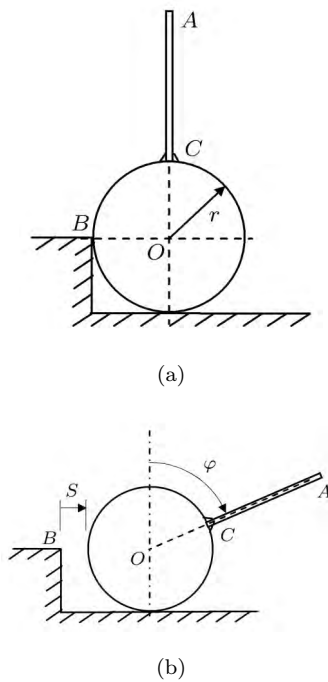


图 21

- (1) (5 分) 圆轮与台阶  $B$  点开始分离时的角度  $\varphi$  的大小?
- (2) (6 分) 组合刚体的角速度与角度  $\varphi$  的关系?
- (3) (4 分) 圆轮右移的距离  $S$  与角度  $\varphi$  的关系?

解答:

组合刚体的运动存在两个阶段, 一是绕  $O$  的定轴转动; 二是质心水平速度保持不变的平面运动. 首先确定由定轴转动到平面运动的临界转角. 问题 (1), 刚体绕  $O$  作定轴转动. 依动能定理

$$\frac{1}{2} J_O \omega^2 = 2mgr(1 - \cos \varphi) \quad (1) \quad (7)$$

$$\omega^2 = \frac{4mgr}{J_O} (1 - \cos \varphi)$$

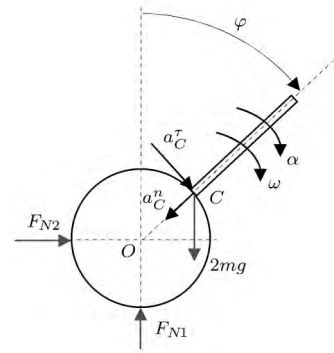


图 22

式 (7) 两边对时间求导

$$\alpha = \frac{2mgr}{J_O} \sin \varphi \quad (1 \text{ 分}) \quad (8)$$

式 (7) 也可由对点  $O$  的动量矩定理得到. 由质心运动定理

$$F_{N2} = 2m(-a_C^n \sin \varphi + a_C^\tau \cos \varphi) \quad (9)$$

$a_C^n = r\omega^2$ ,  $a_C^\tau = r\alpha$ . 方程 (9) 也可由动静法得到. 式 (9) 中代入加速度

$$F_{N2} = \frac{4m^2 r^2 g}{J_O} \sin \varphi (3 \cos \varphi - 2) \quad (2 \text{ 分})$$

球与凸台分离的角度由  $F_{N2} = 0$  确定.

$$\varphi_0 = \cos^{-1} \frac{2}{3} \quad (1 \text{ 分})$$

对应角速度  $\omega_0 = 2\sqrt{\frac{mgr}{3J_O}}$ .

问题 (2):

$$\text{当 } \varphi \leq \varphi_0, \omega = 2\sqrt{\frac{mgr}{J_O}(1 - \cos \varphi)} \quad (1 \text{ 分})$$

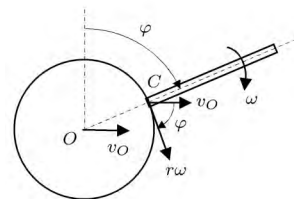


图 23

当  $\varphi > \varphi_0$  时, 组合刚体与台阶脱离接触, 作平面运动, 水平方向动量守恒, 质心  $C$  的水平速度不变, 为

$$v_{Cx0} = r\omega_0 \cos \varphi_0 = \frac{4r}{3} \sqrt{\frac{mgr}{3J_O}}$$

$O$  点速度  $v_O$  水平, 以其为基点, 质心  $C$  的速度表示为

$$v_C = v_O + v_{CO} \quad (1 \text{ 分})$$

质心  $C$  的水平速度为

$$v_{Cx} = v_O + r\omega \cos \varphi = r\omega_0 \cos \varphi_0 \quad (1 \text{ 分}) \quad (10)$$

依动能定理, 有

$$\frac{1}{2} J_C \omega^2 + \frac{1}{2} \times 2m \times [(v_{Cx0})^2 + (r\omega \sin \varphi)^2] = 2mgr(1 - \cos \varphi) \quad (2 \text{ 分}) \quad (11)$$

其中,  $J_C = J_O - 2mr^2$ .

由式 (11) 解出

$$\omega = \sqrt{\frac{4mgr(1 - \cos \varphi) - 2mr^2\omega_0^2 \cos^2 \varphi_0}{J_O - 2mr^2 \cos^2 \varphi}} = \frac{2}{3} \sqrt{\frac{9mgr(1 - \cos \varphi) - 2mr^2\omega_0^2}{J_O - 2mr^2 \cos^2 \varphi}}$$

(当  $\varphi > \varphi_0$ ) (1 分)

其中,  $\omega_0 = 2\sqrt{\frac{mgr}{3J_O}}$ ,  $\varphi_0 = \cos^{-1}\left(\frac{2}{3}\right)$ .

问题 (3):

当  $\varphi \leq \varphi_0$  时,  $S = 0$  (1 分)

当  $\varphi > \varphi_0$  时, 圆盘向右发生水平移动和转动.

注意到

$$v_O = \frac{dS}{dt} = \frac{dS}{d\theta} \frac{d\theta}{dt} = \omega \frac{dS}{d\theta} \quad (1 \text{ 分})$$

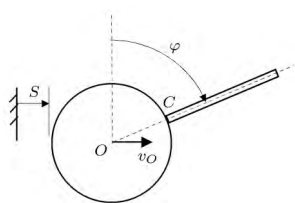


图 24

由式 (10) 有

$$\frac{dS}{d\theta} = \frac{r\omega_0 \cos \varphi_0}{\omega(\theta)} - r \cos \theta \quad (1 \text{ 分})$$

积分上式, 并注意  $\sin \varphi_0 = \frac{\sqrt{5}}{3}$ , 得

$$S = r\omega_0 \int_{\varphi_0}^{\varphi} \sqrt{\frac{J_O - 2mr^2 \cos^2 \theta}{9mgr(1 - \cos \theta) - 2mr^2\omega_0^2}} d\theta - r \left( \sin \varphi - \frac{\sqrt{5}}{3} \right) \quad (\varphi > \varphi_0) \quad (1 \text{ 分})$$

十二、(共 15 分) 如图 25 所示, 边长为  $h$ 、质量为  $m$  的均质正方形刚性平板静置于水平面上, 且仅在角点  $A$ 、 $C$  和棱边中点  $B$  处与水平面保持三点接触. 位于水平面上的小球以平行于  $AC$  棱边的水平速度  $v_b$  与平板发生完全弹性碰撞, 碰撞点至角点  $A$  的距离以  $b$  表示. 已知平板关于过其中心的铅直轴的转动惯量为  $J = mh^2/6$ , 在  $A$ 、 $B$  和  $C$  三点处与水平支承面的静摩擦因数和动摩擦因素均为  $\mu$ . 略去碰撞过程中的摩擦力冲量, 试求

(1) (3 分) 碰撞结束瞬时, 平板的速度瞬心位置?

(2) (3 分) 若  $b = 5h/6$ , 计算碰撞结束瞬时平板的角加速度?

(3) (9 分) 设小球的质量为  $m/21$ . 碰撞后, 板在水平面内绕  $B$  点转动, 则碰撞点的位置  $b$  和碰撞前小球速度  $v_b$  应满足的条件?

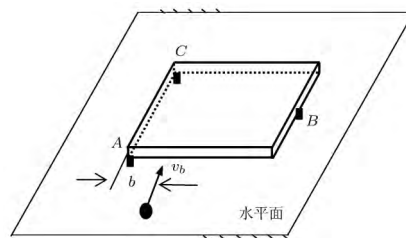


图 25

解答:

两物体碰撞及速度突变都发生在水平面内, 在铅直方向, 方板仍然处于平衡状态. 由空间平行力系的平衡知三个支撑点的铅直方向反力. 支承面对方板的水平约束力就是动或静摩擦力, 由摩擦定律知摩擦力与铅直反力成比例. 因此, 在碰撞阶段, 水平摩擦力的冲量略去不计.

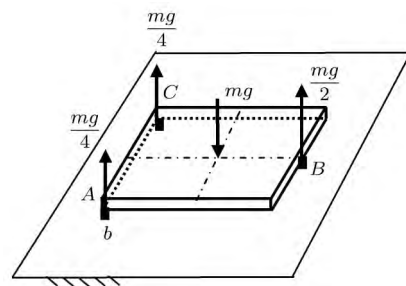


图 26



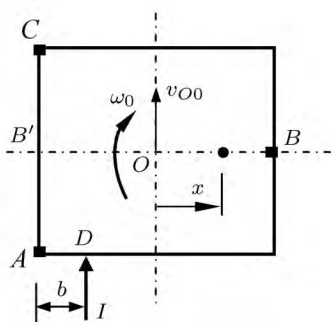


图 27

问题 (1):

记碰撞冲量为  $I$ , 考察板

$$\left. \begin{aligned} mv_{O0} &= I \\ J_O \omega_0 &= I \left( \frac{h}{2} - b \right) \end{aligned} \right\} \quad (1 \text{ 分}) \quad (12)$$

$J_O = \frac{1}{6}mh^2$ , 由式 (12) 解出

$$v_{O0} = \frac{I}{m}, \quad \omega_0 = \frac{6I}{mh^2} \left( \frac{h}{2} - b \right)$$

碰撞结束瞬时, 板作平面运动的速度瞬心位于通过点  $B'$  和点  $B$  的直线上.

由  $v_{O0} - x\omega_0 = 0$  (1分) 得

$$x = \frac{h}{6(1/2 - b/h)} \quad \left( b \neq \frac{h}{2} \right) \quad (1 \text{ 分}) \quad (13)$$

当  $b = h/2$  时, 板作平移, 速度瞬心在无穷远处. 式中,  $x$  坐标的原点在点  $O$ , 向右为正, 向左为负.

问题 (2):

将  $b = 5h/6$  代入式 (13), 有  $x = -h/2$ , 板逆时针转动. 此时, 板的速度瞬心在  $AC$  棱边中点. 碰撞结束瞬时, 板的角加速度由相对于质心的动量矩定理确定.

$$J_O \alpha = M_O \quad (1 \text{ 分}) \quad (14)$$

板在水平面内受 3 个滑动摩擦力作用, 如下图所示.

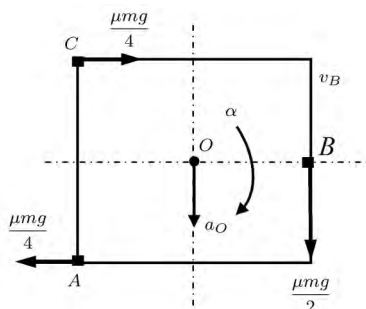


图 28

$$M_O = \frac{\mu m g h}{2} \quad (1 \text{ 分})$$

代入式 (14), 有

$$\alpha = \frac{3\mu g}{h} \text{ (顺时针)} \quad (1 \text{ 分})$$

问题 (3):

$B$  点速度  $v_B = 0$ , 由式 (13) 知

$$b = \frac{h}{6} \quad (1 \text{ 分})$$

由对  $B$  点的动量矩守恒得到

$$\frac{m}{21} v_b \cdot \frac{5}{6} h = J_B \omega_0 - \frac{m}{21} v'_b \cdot \frac{5}{6} h \quad (1 \text{ 分}) \quad (15)$$

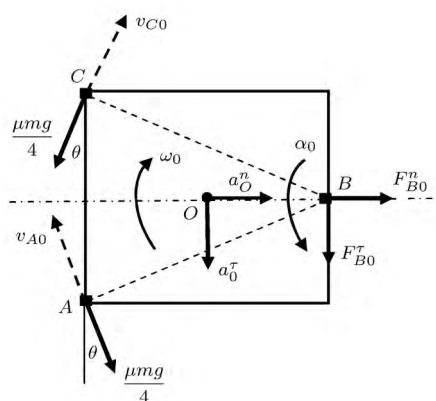
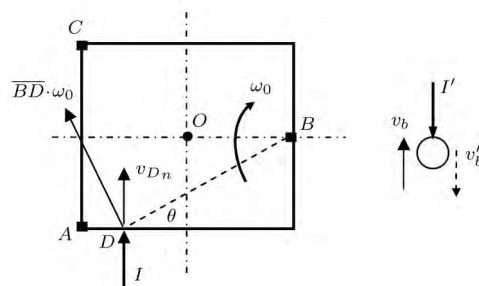


图 29

其中,  $v'_b$  为小球的反弹速度

$$J_B = J_O + \frac{m}{4} h^2 = \frac{5}{12} m h^2$$

碰撞点  $D$  的法向速度为

$$[v_D]_n = \overline{BD} \cdot \omega_0 \cdot \cos \theta = \frac{5}{6} h \omega_0$$

完全弹性碰撞条件为

$$v'_b + [v_D]_n = v_b \quad (1 \text{ 分}) \quad (16)$$

结合式 (15) 与式 (16), 解出

$$\omega_0 = \frac{3v_b}{17h} \quad (1 \text{ 分})$$

B 点的静摩擦力满足

$$\sqrt{(F_{B0}^n)^2 + (F_{B0}^\tau)^2} \leq \frac{\mu mg}{2} \quad (1 \text{ 分}) \quad (17)$$

由质心运动定理和对 B 点的动量矩定理

$$\left. \begin{aligned} ma_{O0}^n &= F_{B0}^n \\ ma_{O0}^\tau &= \frac{\mu mg\sqrt{5}}{5} + F_{B0}^\tau \\ J_B\alpha_0 &= M_B = \frac{\mu mgh\sqrt{5}}{4} \end{aligned} \right\} \quad (1 \text{ 分}) \quad (18)$$

其中,  $a_{O0}^n = \frac{h}{2}\omega_0^2$ ,  $a_{O0}^\tau = \frac{h}{2}\alpha_0$

由式 (18) 解出  $\alpha_0 = \frac{3\sqrt{5}\mu g}{5h}$ ,  $a_{O0}^\tau = \frac{3\sqrt{5}\mu g}{10}$ ,  
 $F_{B0}^\tau = \frac{\sqrt{5}\mu mg}{10}$ ,  $F_{B0}^n = \frac{1}{2}mh\omega_0^2$ . 再由式 (17), 得到

$$v_b \leq \frac{34}{3}\sqrt{\frac{\sqrt{5}\mu gh}{10}} \quad (1 \text{ 分})$$

此后, 板作减速转动,  $\omega < \omega_0$ ,  $a_O^n < \frac{h}{2}\omega_0^2$ , 所以  $F_B^n < F_{B0}^n$ . 可见, 板在停止转动之前, 其 B 端能保持静止不动. (1 分)

十三、(15 分) 图 30 示圆环细杆, 材料的弹性模量为  $E$ , 受集度为  $m$ 、矢量方向与环杆轴线相切的均布力偶载荷, 变形时杆件始终保持弹性状态, 且横截面符合平面假设. 环杆轴线半径为  $R$ , 环杆横截面为圆, 其半径为  $r$ , 且  $r/R \ll 1$ . 试确定:

- (1) (3 分) 横截面上的内力;
- (2) (10 分) 横截面的转角  $\varphi$ ;
- (3) (4 分) 求横截面上内力的最大值.

**【提示】:** 当  $Y/X \ll 1$  时可做简化:  $X + Y \approx X$ .

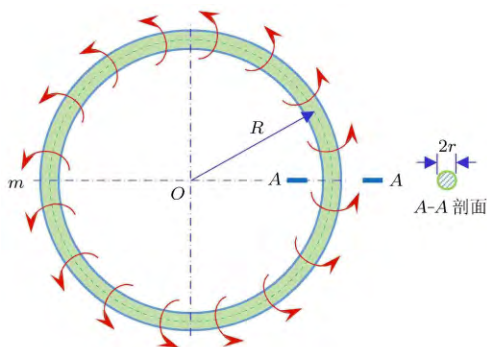


图 30

解答: (1) 横截面上的内力:  
由半环杆的力偶平衡得

$$M_z = -mR(\leftarrow) \quad (1 \text{ 分}) \quad (19)$$

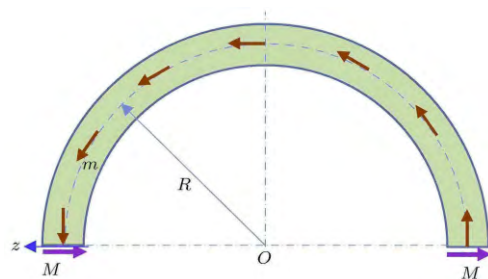


图 31

以右端为例. 通过  $(\rho, \theta)$  点的圆周线正应变  $\varepsilon$  为

$$\varepsilon = \frac{w}{R + \rho \cos \theta} = \frac{\rho(\cos(\theta + \varphi) - \cos \theta)}{R + \rho \cos \theta} \quad (5 \text{ 分})$$

$$\varepsilon \approx \frac{\rho}{R}(\cos(\theta + \varphi) - \cos \theta)$$

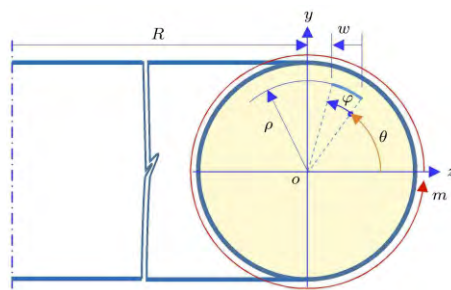


图 32

$$\sigma = E\varepsilon \approx E\frac{\rho}{R}[\cos(\theta + \varphi) - \cos \theta] \quad (20)$$

$$M_z = \int_A y\sigma dA, \quad M_y = -\int_A z\sigma dA$$

考虑到转角  $\varphi$  比较大, 因此在变形后截面上一点的位置坐标表达为

$$y = \rho \sin(\theta + \varphi), \quad z = \rho \cos(\theta + \varphi)$$

将式 (20) 及上述二式代入  $M_z$  和  $M_y$  表达式, 有

$$\begin{aligned} M_z &= \iint \rho \sin(\theta + \varphi) \frac{E\rho(\cos(\theta + \varphi) - \cos \theta)}{R + \rho \cos \theta} \rho d\theta d\rho \approx \\ &\iint \rho \sin(\theta + \varphi) \frac{E\rho[\cos(\theta + \varphi) - \cos \theta]}{R} \rho d\theta d\rho = \\ &\frac{E}{R} \int_0^{2\pi} \sin(\theta + \varphi)[\cos(\theta + \varphi) - \cos \theta] d\theta \int_0^r \rho^3 d\rho \end{aligned}$$

$$M_y = - \iint \rho \cos(\theta + \varphi) \frac{E\rho[\cos(\theta + \varphi) - \cos \theta]}{R + \rho \cos \theta} \rho d\theta d\rho \approx$$

$$- \iint \rho \cos(\theta + \varphi) \frac{E\rho(\cos(\theta + \varphi) - \cos \theta)}{R} \rho d\theta d\rho =$$

$$- \frac{E}{R} \int_0^{2\pi} \cos(\theta + \varphi) [\cos(\theta + \varphi) - \cos \theta] d\theta \int_0^r \rho^3 d\rho$$

计算出积分可得

$$M_z = - \frac{\pi E r^4}{4R} \sin \varphi \quad (\leftarrow) \quad (21)$$

$$M_y = - \frac{\pi E r^4}{4R} (1 - \cos \varphi) \quad (\downarrow) \quad (22)$$

比较式 (19) 与式 (22) 得

$$\sin \varphi = \frac{4R^2 m}{\pi E r^4} \quad (23)$$

由此式可见, 为了  $m$  恒正, 即  $m$  与题目中所画方向相同而不矛盾,  $\varphi$  的取值限定为  $0 \leq \varphi < \pi$ .

式 (23) 代入式 (22) 得

$$M_y = - \frac{\pi E r^4}{4R} \left[ 1 - \sqrt{1 - \left( \frac{4R^2 m}{\pi E r^4} \right)^2} \right] \quad (\downarrow) \quad (24)$$

总之, 横截面上的非零内力为

$$M_z = -mR (\leftarrow),$$

$$M_y = - \frac{\pi E r^4}{4R} \left[ 1 - \sqrt{1 - \left( \frac{4R^2 m}{\pi E r^4} \right)^2} \right] \quad (\downarrow)$$

(其余内力分量为零, 不用写出)

式 (21) 或式 (23) 也可用能量法求得.

(2) 横截面的转角  $\varphi$ :

由式 (23) 得转角

$$\varphi = \sin^{-1} \left( \frac{4R^2 m}{E\pi r^4} \right) \quad (2 \text{分})$$

(3) 内力的最大值  $M_{\max}$

利用式 (21) 和式 (22) 算出横截面上的合弯矩

$$M = \sqrt{M_z^2 + M_y^2} = \frac{\pi E r^4}{2R} \sin \frac{\varphi}{2}$$

可见, 当  $\varphi = \pi$  时,  $M = M_{\max}$  (1分)

$$M_{\max} = \frac{\pi E r^4}{2R} \quad (2 \text{分})$$

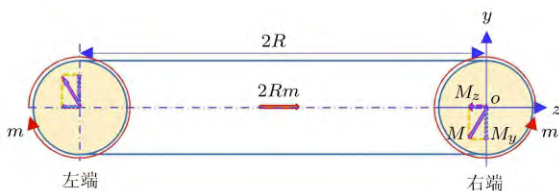


图 33

十四、(15分) 图 34 和图 35 所示的薄壁圆环管压力容器, 壁厚为  $t$ , 环管横截面平均直径为  $D$ , 环管轴线半径为  $R$ . 为了加固压力容器, 用一根直径为  $d$  的细钢丝缠绕圆管, 钢丝缠绕时拉紧, 以至于钢丝与压力容器间的摩擦力达最大. 缠绕的钢丝相邻两圈间相互紧挨, 但可忽略其相互挤压作用. 只考虑钢丝因长度方向拉伸引起的变形, 即可忽略钢丝的弯曲、扭转等变形. 设  $t/D \ll 1, D/R \ll 1$  且  $d/D \ll 1$ . 钢丝材料的弹性模量为  $E_s$ , 压力容器材料的弹性模量和泊松比分别为  $E$  和  $\nu$ , 钢丝与压力容器间的摩擦系数为  $\mu$ .

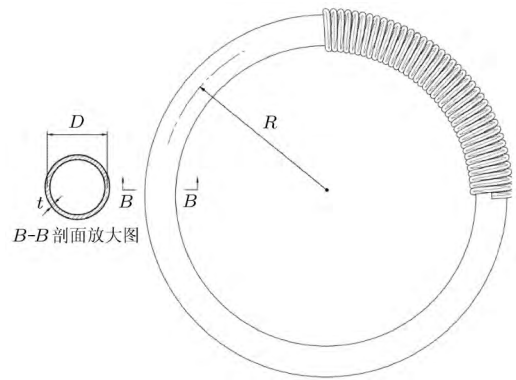


图 34

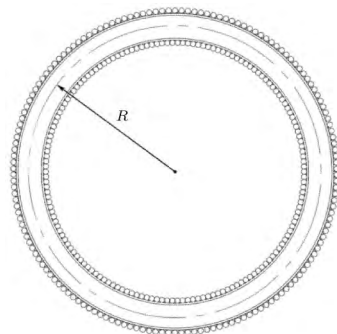


图 35

(1) 已知: 钢丝缠绕圈数的最大值  $n$  为偶数, 当环管外表面缠满钢丝时, 如图 35 所示, 钢丝最大拉力为  $P$ . 环管外表面缠满钢丝后将钢丝两端互相连接, 并让钢丝缓慢松弛. 求此时:

- ① (3 分) 钢丝的伸长量  $\Delta l_0$ ;
- ② (2 分) 钢丝的张力  $F_0$ ;
- ③ (5 分) 环管横截面上的应力  $\sigma_l$  及环管柱面形纵截面 (参考图 36) 上的应力  $\sigma_v$ .

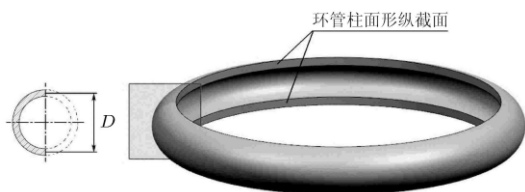


图 36

(2) (5 分) 在 (1) 中状态的基础上, 压力容器施加内压, 压强为  $p$ . 试写出关于钢丝张力增量  $\Delta F$ 、环管柱面形纵截面上应力增量  $\Delta\sigma_v$  的联立方程组.

【提示】: 做简化处理:  $\cos \frac{\pi}{n} \approx 1$ ; 若  $X/Y \ll 1$ , 则  $Y + X \approx Y$ .

解答:

- (1) 钢丝缠绕圈数的最大值  $n$  记

$$R' = R - \frac{D + \delta + d}{2}$$

那么

$$\frac{\alpha}{2} = \tan^{-1} \left( \frac{d}{2R'} \right)$$

钢丝缠绕圈数的最大值  $n$  为

$$n = \frac{2\pi}{\alpha} = \frac{\pi}{\tan^{-1} \left( \frac{d}{2R'} \right)} \approx \frac{\pi}{\tan^{-1} \left( \frac{d}{2R} \right)} \quad (25)$$

记  $D' = D + \delta$

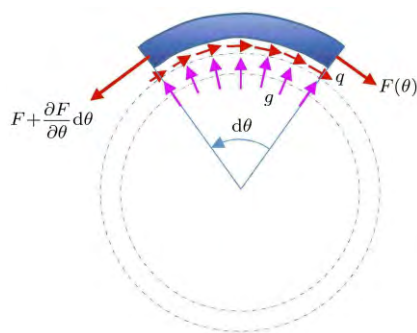
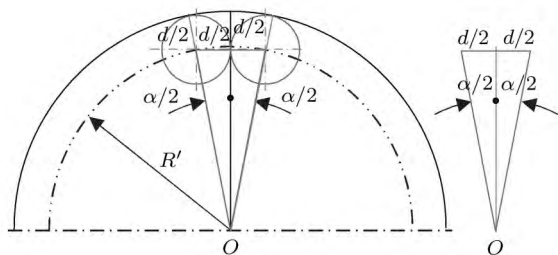


图 37

- ① 钢丝的伸长量  $\Delta l_0$

由力的平衡可得

$$\left. \begin{aligned} g \cdot \frac{D'}{2} &= F \\ \frac{qD'}{2} &= \frac{\partial F}{\partial \theta} \\ q &= \mu g \\ F|_{\theta=2n\pi} &= P \end{aligned} \right\} \quad (26)$$

解此方程, 得

$$F(\theta) = Pe^{\mu(\theta-2n\pi)} \quad (27)$$

始端拉力可通过钢丝末端拉力  $P$  表达为

$$F(0) = Pe^{-2n\pi\mu}$$

钢丝绕满环管表面后两端刚连接之前, 钢丝伸长量

$$\Delta l_0 = \int_0^{2n\pi} \frac{N(\theta)}{E_s A} ds = \frac{1}{E_s A} \int_0^{2n\pi} F(\theta) \frac{D'}{2} d\theta$$

即

$$\begin{aligned} \Delta l_0 &= \frac{D'}{2E_s A} Pe^{-2n\pi\mu} \frac{1}{\mu} e^{\mu\theta} \Big|_0^{2n\pi} = \\ &= \frac{D'P}{2E_s A\mu} (1 - e^{-2n\pi\mu}) \approx \frac{DP}{2E_s A\mu} (1 - e^{-2n\pi\mu}) \end{aligned} \quad (28)$$

- ② 钢丝的张力  $F_0$

两端连接的钢丝松弛后, 钢丝伸长量将保持不变, 从而拉力将沿钢丝长度不变, 即  $F = F_0$ , 恒定. 那么, 有

$$\Delta l_0 = \frac{F_0 n \pi D'}{E_s A} \quad (29)$$

由此得钢丝的张力

$$F_0 = \frac{E_s A \Delta l_0}{n \pi D'} = \frac{P}{2\mu n \pi} (1 - e^{-2n\pi\mu}) \quad (30)$$

- ③ 环管的应力  $\sigma_l$  和  $\sigma_v$

求管道横截面上的应力  $\sigma_l$ : 用一个竖直平面沿管道环线的直径将压力容器切开成相等的两半, 由力的平衡可知

$$\sigma_l = 0 \tag{31}$$

求环管柱面形纵截面上的应力  $\sigma_v$ : 先用一个竖直平面沿管道环线的直径切开, 再用过管道轴线的竖直圆柱面将管道切成两半.

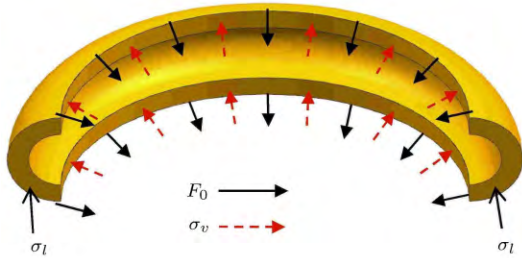


图 38

可分两种情形讨论.

情形 1: 如下图所示

$\alpha = 2\pi/n$ , 记  $\theta_j = (j - 1/2)\alpha$ , 平衡方程为

$$\sum_{j=1}^{n/2} F_0 \sin \theta_j - \sigma_v \cdot 2R \cdot 2\delta - 2 \frac{\pi D}{2} \delta \sigma_l = 0 \tag{32}$$

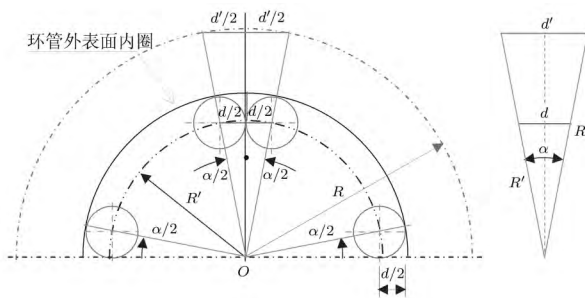


图 39

由图不难看出, 其中和式可计算如下

$$\sum_{j=1}^{n/2} \sin \theta_j = \frac{1}{d'} \sum_{j=1}^{n/2} d' \sin \theta_j = \frac{1}{d'} 2R = \frac{2R}{d'} \tag{33}$$

式中,  $d'$  计算如下

因为

$$\frac{d}{d'} = \frac{R'}{R} = \frac{R - \frac{D + \delta + d}{2}}{R} = 1 - \frac{D + \delta + d}{2R}$$

所以

$$d' = \frac{d}{1 - \frac{D + \delta + d}{2R}}$$

将式 (33) 代入式 (32), 得

$$2 \frac{F_0}{d'} R - 4\sigma_v R \delta - \pi D \delta \sigma_l = 0 \tag{34}$$

$$\sigma_v = \frac{1}{4R\delta} \left( \frac{F_0 2R}{d'} - \pi D \delta \sigma_l \right)$$

将式 (31) 代入上式得

$$\sigma_v = \frac{F_0}{2\delta d'}$$

即

$$\sigma_v = \frac{P}{4\mu n \pi \delta d'} (1 - e^{-2n\pi\mu}) \approx \frac{P}{4\mu n \pi \delta d} (1 - e^{-2n\pi\mu}) \tag{35}$$

情形 2: 如下图所示

可列出

$$\sum_{j=1}^{\frac{n}{2}-1} F_0 \sin \theta_j - \sigma_v 2R 2\delta - \sigma_l \pi D \delta = 0$$

$$\theta_j = j\alpha, \quad \alpha = \frac{2\pi}{n}$$

$$\sum_{j=1}^{\frac{n}{2}-1} d' \sin \theta_j = 2R \cos \frac{\alpha}{2} = 2R \cos \frac{\pi}{n} \approx 2R$$

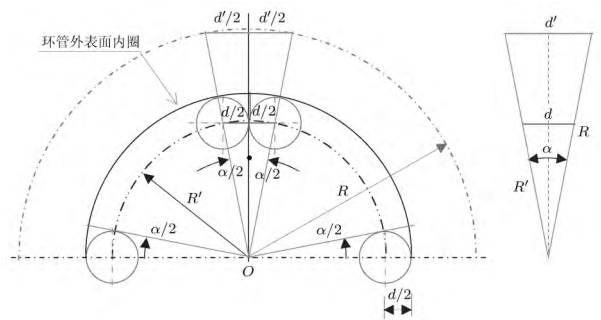


图 40

将上式与式 (32) 比较可见, 做近似处理  $\cos(\pi/n) \approx 1$  后, 本情形中和式结果与情形 1 的相同. 于是可认为式 (34) 对所有情形恒成立.

(2) 环管柱面形纵截面上的应力  $\sigma_v$

当有内压  $p$  时, 记由于施加  $p$  而引起的竖直纵截面上的应力增量为  $\Delta\sigma_v$  (压为正), 钢丝与管外表面间压应力增量为  $\Delta\sigma_g$  (压为正), 钢丝拉力增量为  $\Delta F$  (拉为正), 管横截面应力增量为  $\Delta\sigma_l$  (压为正).

求环管道横截面上的应力增量  $\Delta\sigma_l$ : 用一个竖直平面沿管道环线的直径将压力容器切开成相等的两半, 可知代替方程 (31) 的是

$$\pi D \delta \Delta\sigma_l = -\frac{\pi}{4} D^2 p$$



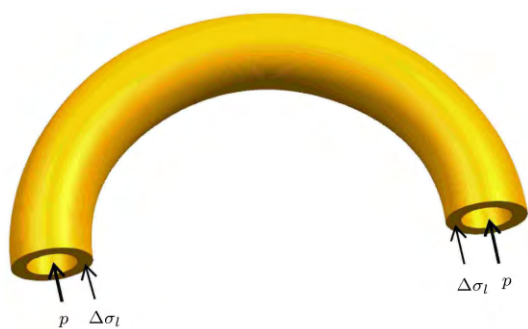


图 41

即

$$\Delta\sigma_l = -\frac{Dp}{4\delta} \quad (36)$$

求环管柱面形纵截面上的应力  $\sigma_v$ : 变形协调方程为  $\Delta\varepsilon_s = \Delta\varepsilon_v$ , 此即

$$\frac{4\Delta F}{E_s\pi d^2} = -\frac{1}{E}[\Delta\sigma_v - \nu(\Delta\sigma_l + \Delta\sigma_g)] \quad (37)$$

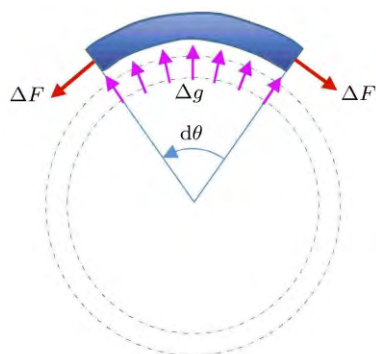


图 42

参考式 (31) 有

$$\Delta g \cdot \frac{D'}{2} = \Delta F$$

而  $\Delta\sigma_g = \frac{\Delta g}{d}$ .

将式 (36) 及上式代入式 (37), 得

$$\frac{4\Delta F}{E_s\pi d^2} = -\frac{1}{E} \left[ \Delta\sigma_v - \nu \left( -\frac{Dp}{4\delta} + \frac{2\Delta F}{D'd} \right) \right] \quad (38)$$

在有  $p$  存在的情况下, 仿照式 (34) 可写出

$$2\frac{R}{d'}\Delta F - 4R\delta\Delta\sigma_v - \pi D\delta\Delta\sigma_l = \left[ 2R(D-\delta) + \frac{\pi}{4}(D-\delta)^2 \right] p$$

将式 (36) 代入, 上式变为

$$2\frac{R}{d'}\Delta F - 4R\delta\Delta\sigma_v + \frac{\pi D^2}{4}p = \left[ 2R(D-\delta) + \frac{\pi}{4}(D-\delta)^2 \right] p \quad (39)$$

式 (38)、式 (39) 即为关于  $\Delta F$  和  $\Delta\sigma_v$  的联立方程组.

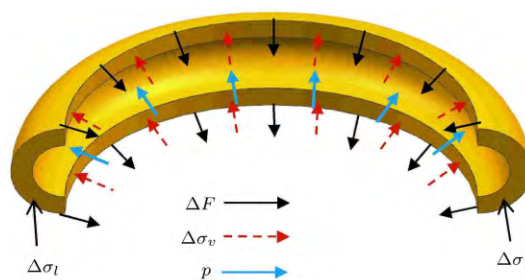


图 43

## 《力学与实践》微信公众号征稿启事

为更好地丰富期刊微信公众平台内容, 充分体现力学的独特之美, 本刊微信公众平台面向广大作者和读者征集原创稿件!

文章题材不限, 只要有创意、有文采、有亮点! 稿件文字应生动活泼、简洁易读, 彩色图片清晰美观, 展示很好的力学科学内涵。文章字数无具体要求, 但为了便于阅读, 建议控制在 1000~5000 字。

微信平台长期征稿, 一经选用, 作者可获赠当年全年《力学与实践》期刊。此外, 被选用稿件将择优推荐至《力学与实践》纸刊发表。

微信投稿文章请发送到 [lsxj@cstam.org.cn](mailto:lsxj@cstam.org.cn) 编辑部联系电话: 010-82543907。期待您的参与!

《力学与实践》编辑部